

УДК 541.49+548.736

СТРУКТУРА НОВОГО КОМПЛЕКСА МЕДИ(II)  
С 3-МЕТИЛ-5-КАРБОКСИЛАТОПИРАЗОЛОМ

© 2008 Л.Г. Лавренова<sup>1\*</sup>, Е.В. Пересыпкина<sup>1</sup>, А.С. Жилин<sup>1</sup>, О.Г. Шакирова<sup>1</sup>,  
М.Н. Новиков<sup>2</sup>, С.Ф. Василевский<sup>2</sup>

<sup>1</sup>Институт неорганической химии им. А.В. Николаева СО РАН, Новосибирск

<sup>2</sup>Институт химической кинетики и горения СО РАН, Новосибирск

Статья поступила 7 мая 2008 г.

Методом РСА определена молекулярная и кристаллическая структура нового комплексного соединения нитрата меди(II) с 3-метил-5-карбоксилатопиразолом ( $\text{CH}_3\text{PzCOO}^-$ ) состава  $\text{Cu}(\text{CH}_3\text{PzCOO})_2 \cdot \text{H}_2\text{O}$ . Показано, что карбоксилат-ион выполняет тридентатно-мостиковую функцию. В экваториальной плоскости координация осуществляется через пиридиновый атом N пиразола и один из атомов O карбоксилатной группы с образованием пятичленного металлоцикла  $\text{CuNOC}_2$ . Второй атом O одного из лигандов присоединяется к соседнему иону меди(II) с образованием бесконечной линейной цепочки. Координационный полизэр атома меди — квадратная пирамида, узел  $\text{CuN}_2\text{O}_3$ .

**Ключевые слова:** кристаллическая и молекулярная структура, комплекс, медь, производные пиразола.

ВВЕДЕНИЕ

Производные пиразола занимают одно из важных мест в химии гетероциклов. Это связано с их доступностью, высокой термо- и химической стабильностью, широким спектром применения в медицине [ 1 ]. В частности, они обладают антиаритмическим и антигипотензивным действием, а также антимикробной активностью [ 1, 2 ]. Комплексные соединения меди(I) на основе незамещенных по азоту пиразолов находят применение в качестве катализаторов стереоселективного превращения олефинов в циклопропаны — важный класс биологически активных соединений [ 3 ].

3(5)-Замещенные производные пиразола, имеющие в качестве заместителей карбокси- и карбометокси-группы, обладают богатыми координационными возможностями [ 4, 5 ]. Пиразольный цикл присоединяется к металлу монодентатно пиридиновым атомом N, пиразолат-ион координируется по бидентатно-мостиковому типу атомами N(1), N(2) цикла, подобно 1,2,4-триазолам. Карбокси- и карбометокси-группы могут дополнительно присоединяться к металлу, и в зависимости от условий реализуются различные типы координации карбоксипиразолов — от бидентатно-циклической до тетрадентатной, а для пиразолат-иона получены комплексы переходных металлов с тетра-, пента- и гексадентатной координацией [ 5 ]. При этом образуются моно-, би- или олигоядерные комплексы [ 4—10 ]. Последние могут иметь цепочечное, слоистое или пространственное строение [ 10 ]. Изучение температурной зависимости магнитных свойств соединений этого класса показало, что в них наблюдаются обменные взаимодействия преимущественно антиферромагнитного характера.

Представлялось целесообразным определить и исследовать молекулярную и кристаллическую структуру нового комплекса меди(II) с 3-метил-5-карбоксилатопиразолом.

\* E-mail: ludm@che.nsk.su

## ЭКСПЕРИМЕНТАЛЬНАЯ ЧАСТЬ

Для синтеза использовали  $\text{Cu}(\text{NO}_3)_2 \cdot 3\text{H}_2\text{O}$  квалификации "ч.", перекристаллизованный из воды. Лиганды для синтеза — 3(5)-карбокси-5(3)-метилпиримидол ( $\text{CH}_3\text{PzCOOH}$ ) и 3(5)-метокси-карбонил-5(3)-метилпиримидол ( $\text{CH}_3\text{PzCOOCH}_3$ ) — синтезированы по методикам, приведенным в работе [ 11 ].

**Синтез  $\text{Cu}(\text{CH}_3\text{PzCOO})_2 \cdot \text{H}_2\text{O}$ .** 0,004 моль (0,50 г  $\text{CH}_3\text{PzCOOH}$  или 0,56 г  $\text{CH}_3\text{PzCOOCH}_3$ ) растворяли при нагревании в 10 мл этанола и прибавляли к горячему раствору 0,002 моль (0,48 г)  $\text{Cu}(\text{NO}_3)_2 \cdot 3\text{H}_2\text{O}$  в 10 мл этанола. Образовывались темно-голубые растворы, из которых после охлаждения выпадали осадки комплексов голубого цвета. Осадки отфильтровывали и промывали этанолом. Высушивали на воздухе. Выход составлял 80 % от теоретического. Анализ осадков показал, что в обоих случаях образуется комплекс состава  $\text{Cu}(\text{CH}_3\text{PzCOO})_2 \cdot \text{H}_2\text{O}$ .

**Монокристаллы  $\text{Cu}(\text{CH}_3\text{PzCOO})_2 \cdot \text{H}_2\text{O}$**  получали путем медленной кристаллизации из маточных растворов после отфильтровывания осадков мелкокристаллической фазы.

Анализ на содержание меди проводили комплексонометрически после разложения навесок комплекса в смеси  $\text{H}_2\text{SO}_4$  и  $\text{HClO}_4$ . Элементный анализ на содержание C, H, N выполняли в лаборатории микроанализа НИОХ СО РАН на анализаторе Carlo Erba по стандартной методике. Найдено, %: C 35,4, H 3,3, N 16,7, Cu 18,7. Для  $\text{C}_{10}\text{H}_{12}\text{N}_4\text{CuO}_5$  вычислено, %: C 36,2, H 3,6, N 16,8, Cu 19,1.

Строение соединения установлено методом рентгеноструктурного анализа монокристаллов. Кристаллографические характеристики и детали дифракционного эксперимента приведены в табл. 1, основные длины связей и величины валентных углов — в табл. 2. Все измерения проведены по стандартной методике на автоматическом четырехкружном дифрактометре Bruker-Nonius X8 Apex, оснащенном двухкоординатным CCD детектором, при температуре 100,0(2) К с использованием излучения молибденового анода ( $\lambda = 0,71073 \text{ \AA}$ ) и графитового монохроматора. Интенсивности отражений измерены методом  $\omega$ - и  $\varphi$ -сканирования узких ( $0,5^\circ$ ) фреймов до  $\theta = 50,0^\circ$ . Поглощение учтено эмпирически по программе SADABS [ 12 ]. Структура расшиф-

Т а б л и ц а 1

*Кристаллографические данные, параметры эксперимента и уточнения структуры  $\text{Cu}(\text{CH}_3\text{PzCOO})_2 \cdot \text{H}_2\text{O}$*

Формула	$\text{C}_{10}\text{H}_{12}\text{CuN}_4\text{O}_5$
Молекулярная масса	331,78
Температура, К	100,0(2)
Излучение ( $\lambda$ , $\text{\AA}$ )	$\text{MoK}_\alpha$ (0,71073)
Сингония	Моноклинная
Пространственная группа, $Z$	$P2_1/c$ , 4
$a, b, c$ , $\text{\AA}$	8,2338(2), 15,6694(4), 9,8905(3)
$\alpha, \beta, \gamma$ , град.	90, 105,3100(10), 90
$V$ , $\text{\AA}^3$	1230,77(6)
$\rho_{\text{выч}}$ , $\text{г}/\text{см}^3$	1,791
$\mu$ , $\text{мм}^{-1}$	1,802
$F(000)$	676
Форма кристалла (размеры, мм)	Пластинка, $0,20 \times 0,11 \times 0,05$
Область сбора данных по $\theta$ , град.	2,50—31,22
Интервалы индексов отражений	$-11 \leq h \leq 10$ , $-22 \leq k \leq 19$ , $-13 \leq l \leq 13$
Измер. / независ. отражений	12805 / 3546
Отражений с $I \geq 2\sigma(I)$	2934 ( $R_{\text{int}} = 0,0299$ )
Метод уточнения	Полноматричный МНК по $F^2$
Число уточняемых параметров	183
$R_1$ ( $I > 2\sigma(I)$ )	0,0508
$wR_2$ (все отражения)	0,1046
GOOF (все отражения)	1,113
Остаточная электронная плотность (мин/макс), $\text{e}/\text{\AA}^3$	-1,259/2,183

Таблица 2

*Длины связей и величины валентных углов в соединении  $Cu(CH_3PzCOO)_2 \cdot H_2O$* 

Связь	Длина связи, Å	Связь	Длина связи, Å	Валентный угол	Величина, град.
$Cu(1)—O(1)$	1,989(2)	$N(2)—C(4)$	1,347(5)	$O(1)—Cu(1)—O(2a)$	99,72(9)
$Cu(1)—O(2a)*$	2,201(2)	$N(3)—N(4)$	1,343(4)	$O(1)—Cu(1)—O(3)$	160,75(9)
$Cu(1)—O(3)$	1,992(2)	$N(3)—C(7)$	1,342(4)	$O(3)—Cu(1)—O(2a)$	99,49(9)
$Cu(1)—N(1)$	1,953(3)	$N(4)—C(9)$	1,358(4)	$N(1)—Cu(1)—O(1)$	81,50(9)
$Cu(1)—N(3)$	1,965(3)	$C(1)—C(2)$	1,489(4)	$N(1)—Cu(1)—O(2a)$	97,01(11)
$O(1)—C(1)$	1,280(4)	$C(2)—C(3)$	1,388(5)	$N(1)—Cu(1)—O(3)$	94,87(10)
$O(2)—Cu(1b)$	2,201(2)	$C(3)—C(4)$	1,387(5)	$N(1)—Cu(1)—N(3)$	166,29(10)
$O(2)—C(1)$	1,244(4)	$C(4)—C(5)$	1,495(5)	$N(3)—Cu(1)—O(1)$	97,06(9)
$O(3)—C(6)$	1,273(4)	$C(6)—C(7)$	1,490(4)	$N(3)—Cu(1)—O(2a)$	96,68(11)
$O(4)—C(6)$	1,254(3)	$C(7)—C(8)$	1,389(5)	$N(3)—Cu(1)—O(3)$	81,97(10)
$N(1)—N(2)$	1,345(4)	$C(8)—C(9)$	1,390(4)		
$N(1)—C(2)$	1,338(4)	$C(9)—C(10)$	1,488(5)		

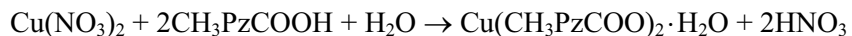
\* Коды симметрии: (a):  $x, -y+1/2, z+1/2$ ; (b):  $x, -y+1/2, z-1/2$ .

рована прямым методом и уточнена полноматричным МНК в анизотропном для неводородных атомов приближении по комплексу программ SHELXTL [13]. Атомы водорода органических лигандов были уточнены в геометрически рассчитанных позициях, атомы водорода сольватной молекулы воды не локализованы.

Координаты атомов и величины тепловых параметров депонированы в Кембриджском банке структурных данных, депозитарный номер CCDC 683612.

### РЕЗУЛЬТАТЫ И ИХ ОБСУЖДЕНИЕ

Комплексное соединение состава  $Cu(CH_3PzCOO)_2 \cdot H_2O$  выделено двумя методами — по реакции этанольных растворов нитрата меди и 3(5)-карбокси-5(3)-метилпиразола



или путем взаимодействия нитрата меди(II) с 3(5)-метоксикарбонил-5(3)-метилпиразола в том же растворителе



Это означает, что в процессе реакции комплексообразования лиганда с нитратом меди(II) происходит гидролиз сложноэфирной группы до карбоксильной. Такой гидролиз в отсутствие минеральных кислот является достаточно неожиданным. Следует отметить, что даже в водных растворах серной кислоты при нагревании до 80 °C производные пиразола с метоксикарбонильными группами в 3- и (или) 5-положении цикла гладко иодируются без затрагивания сложноэфирной группы [14]. Можно предположить, что в данном случае гидролиз сложноэфирной группы обусловлен каталитическим влиянием иона меди(II). Механизм этой реакции в дальнейшем будет изучаться.

По данным РСА  $Cu(CH_3PzCOO)_2 \cdot H_2O$  имеет цепочечное строение. 3-Метил-5-карбоксиатопиразол координируется к меди двумя разными способами (рис. 1). Одна кристаллографически независимая молекула лиганда координируется к атому Cu(II) бидентатно-циклически за счет атомов N<sup>2</sup> (N(3) на рис. 1) пиразольного цикла и O(3) карбоксилатной группы. Вторая кристаллографически независимая молекула лиганда выполняет тридентатно-мостиковую функцию. В экваториальной плоскости координация осуществляется через пиридиновый атом N<sup>2</sup> пиразола (N(1) на рис. 1) и атом O(1) карбоксилатной группы с образованием пятичленного металлоцикла CuNOC<sub>2</sub>. Атом O(2) лиганда присоединяется к соседнему иону меди(II) с образованием бесконечной линейной цепочки (рис. 2).

Интересно отметить, что второй атом кислорода карбоксильной группы O(4) бидентатно-циклически координированной молекулы лиганда образует "внутримолекулярную" водород-

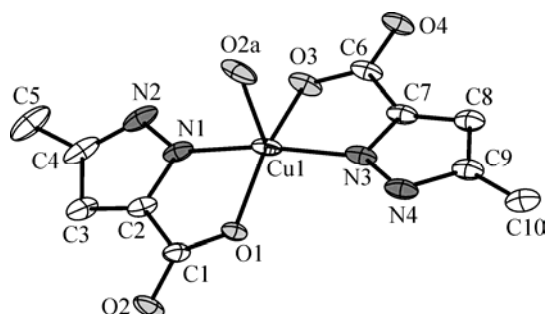


Рис. 1. Фрагмент структуры  $\text{Cu}(\text{CH}_3\text{PzCOO})_2 \cdot \text{H}_2\text{O}$ . Атомы водорода не показаны для ясности. Атом  $\text{O}(2\text{a})$  размножен операцией симметрии  $x, 0,5-y, 0,5+z$

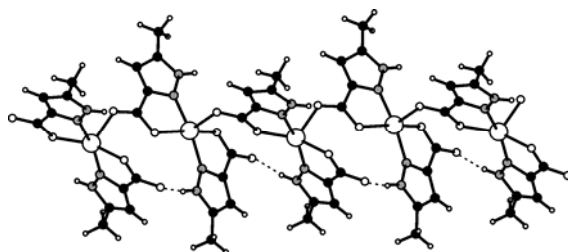


Рис. 2. Вид цепочки  $\{\text{Cu}(\text{CH}_3\text{PzCOO})_2\}$ , идущей в направлении [001]. Пунктиром показаны внутримолекулярные водородные связи  $\text{NH}(\text{Pz}) \dots \text{O}(\text{COO})$  длиной  $2,731(3)$  Å

ную связь с протонированным атомом азота N(4) пиразольного цикла, координированного к соседнему по цепочке атому меди, расстояния  $\text{N}(\text{H}) \dots \text{O}(\text{COO})$  составляют  $2,731(3)$  Å. Координационный полигидропират атома меди — квадратная пирамида, узел  $\text{CuN}_2\text{O}_3$ . Различная координация не приводит к значимому изменению геометрических параметров молекулы лиганда (см. табл. 2). Нейтральные цепочки  $[\text{Cu}(\text{CH}_3\text{PzCOO})_2]_\infty$  расположены вдоль направления [001]. Они связаны между собой посредством водородных связей между соседними цепочками (расстояния  $\text{N}(\text{H}) \dots \text{O}(\text{COO})$   $2,731(3)$  Å), а также через сольватные молекулы воды (расстояния  $\text{N}(\text{H}) \dots \text{O}(\text{H}_2\text{O})$   $2,704(4)$  Å). Кроме того, между пиразольными циклами, содержащими атом N(1), реализуются  $\pi-\pi$ -стекинговые взаимодействия. Данные циклы симметрично связаны центром инверсии пр. гр.  $C2/c$ , что обеспечивает их строгую параллельность, причем расстояния между плоскостями циклов составляют  $3,42$  Å. Таким образом, выполняются два основных структурных критерия существования  $\pi-\pi$ -стекинга [15]. Бидентатно координированный лиганд в стекинговых взаимодействиях не участвует.

Таким образом, определена молекулярная и кристаллическая структура нового полиядерного комплекса меди(II) с 3-метил-5-карбоксилатопиразолом состава  $[\text{Cu}(\text{CH}_3\text{PzCOO})_2]_\infty$ . Показано, что один из лигандов в его составе присоединяется к металлу по бидентатно-циклическому типу, второй лиганд является тридентатно-мостиковым. Полученное соединение является первым примером комплекса с лигандами данного класса, который имеет полиядерное цепочечное строение.

Работа выполнена при финансовой поддержке Российского фонда фундаментальных исследований (грант № 07-03-00048а), фонда CRDF RUXO (грант N 008-NO-06) и Химического Сервисного центра СО РАН.

#### СПИСОК ЛИТЕРАТУРЫ

1. Vasilevsky S.F., Tretyakov E.V., Elguero J. // Adv. Het. Chem. – 2002. – **82**. – P. 1 – 99.
2. Farghaly A.-R., El-Kashef H. // Monats. Chem. – 2005. – **136**, N 2. – P. 217 – 227.
3. Maspero A., Brenna S., Galli S., Penoni A. // J. Organomet. Chem. – 200. – **672**. – P. 123 – 129.
4. Pan L., Frydel T., Sander M.B. et al. // Inorg. Chem. – 2001. – **40**, N 6. – P. 1271 – 1283.
5. King P., Cleras R., Anson C.F., Powell A.K. // J. Chem. Soc. Dalton Trans. – 2004. – P. 852 – 861.
6. Bayon J.C., Esteban P., Net G. et al. // Inorg. Chem. – 1991. – **30**, N 11. – P. 2572 – 2574.
7. Angaroni M., Adrizzoia G.A., Monica G.L. et al. // J. Chem. Soc. Dalton Trans. – 1992. – P. 2715 – 2721.
8. Zhang H., Fu D., Ji F. et al. // Ibid. – 1996. – P. 3799 – 3803.
9. Drissen W.L., Chang L., Finazzo C. et al. // Inorg. Chim. Acta. – 2003. – **350**. – P. 25 – 31.
10. King P., Cleras R., Anson C.E. et al. // Inorg. Chem. – 2003. – **42**, N 11. – P. 3492 – 3500.
11. Shofield K., Grimmet M.K., Keene B.R.T. The Azoles. – L.: Cambridge University Press, 1967.
12. Sheldrick G.M., SADABS, Program for empirical X-ray absorption correction. – Bruker – Nonius, 1990 – 2004.
13. Bruker, SHELLXTL. Version 6.22. (2003) – Bruker AXS Inc., Madison, WI, USA.
14. Василевский С.Ф., Шварцберг М.С. // Изв. АН СССР. Сер. хим. – 1980. – № 5. – С. 1071 – 1077.
15. Janiak C. // J. Chem. Soc., Dalton Trans. – 2000. – С. 3885 – 3896.